

УДК 541.1

ФИЗИЧЕСКАЯ ХИМИЯ

В. А. ПЧЕЛИН

О МОДЕЛИРОВАНИИ ГИДРОФОБНЫХ ВЗАИМОДЕЙСТВИЙ

(Представлено академиком П. А. Ребиндером 10 III 1970)

Современное представление о гидрофобных взаимодействиях в структуре белковых молекул является, по-видимому, плодотворным течением, хотя сам по себе эффект взаимодействия (притяжения) гидрофобных радикалов или молекул в водной среде давно известен. Особенность этих представлений состоит в термодинамическом обосновании необходимости гидрофобных взаимодействий, которое неразрывно связано с особенностями структуры воды и с изменениями этой структуры при растворении в ней гидрофобных молекул или радикалов⁽¹⁻²⁾. Роль структуры воды в дисперсных системах до сих пор не учитывалась. Вместе с тем еще ряд вопросов, связанных с гидрофобными взаимодействиями, требуют своего разрешения. В частности, еще до конца не выяснен механизм элементарного акта взаимодействия двух неполярных молекул (радикалов). Кроме того, представляет большой интерес выяснение возможности применения существующих теоретических положений, развитых для молекулярных систем, к микрогетерогенным системам.

В данной работе делается попытка моделирования гидрофобных взаимодействий с помощью микрогетерогенной системы. В качестве таковой была взята водная суспензия порошка фторопласта З (тефлон). Тefлон — наиболее гидрофобное из всех известных веществ, обладающее к тому же значительной химической инертностью и достаточной термостойкостью (т. пл. 208—210° С).

Известно, что повышение температуры вызывает усиление гидрофобных взаимодействий⁽³⁾, поэтому для решения поставленной задачи было изучено влияние температуры на структурно-механические свойства суспензии тefлона, а также на объем ее осадка.

Водная суспензия готовилась путем растирания порошка тefлона в фарфоровой ступке с 96% этиловым спиртом — ректификатом. Спирт брался в количестве, обеспечивающем сметанообразную консистенцию смеси. После растирания в ступке (10—15 мин.) смесь переносилась в химический стакан емкостью 1 л и при непрерывном перемешивании стеклянной палочкой разбавлялась 10-кратным количеством дистиллированной воды. После этого для удаления этилового спирта смесь кипятилась до тех пор, пока ее объем не уменьшался до $\frac{1}{2}$ исходного. При этом значительная часть спирта испарялась. Затем добавлялась холодная вода до исходного объема и суспензию оставляли в покое до полного охлаждения и оседания тefлона на дно стакана. Далее следовала многократная промывка (декантация) 10-кратными объемами холодной дистиллированной воды. После 5—7 промывок заливалась холодная дистиллированная вода. В таком виде суспензия сохранялась сколь угодно долго и представляла собой осадок на дне стакана, резко ограниченный от водной фазы. Для опытов брался именно этот осадок с помощью пипетки, опущенной на дно стакана.

Размер частиц порошка тefлона был $\approx 1 \mu$, а их форма — близка к шарообразной.

Определение объема осадка суспензии тefлона в зависимости от температуры производилось следующим образом. Суспензия в количестве 6 мл

помещалась в градуированную пробирку с притертой пробкой и туда же добавлялось 5 мл воды. Пробирка несколько раз медленно покачивалась до равномерного распределения порошка тефлона по всему объему воды и быстро переносилась в водяной термостат, заранее отрегулированный на нужную температуру.

Изучение структурно-механических свойств суспензий тефлона проведено путем снятия реологических кривых $1/\tau = f(P)$ *. Измерения были произведены для двух типов суспензий. Первая — обычная суспензия (осадок), как и при изучении объема осадков, а измерения $1/\tau = f(P)$ производились по методу коаксиальных цилиндров; вторая — двухмерная суспензия (пленка), состоящая из частиц тефлона, расположенных на поверхности чистой воды. Такая двухмерная суспензия легко получается, если через осадок тефлона находящийся под слоем воды, пропускать пузырьки воздуха. Измерения $1/\tau = f(P)$, в данном случае, производились по методу диска, помещаемого на поверхности воды.

Схема прибора, применявшегося в этих опытах, приведена на рис. 1. Измерялась сила тока и соответствующая ей деформация системы. Прибор градуирован для перевода единиц силы тока (ма) в единицы силы (дин·см⁻¹).

Рис. 1. Принципиальная схема прибора:
а: 1 — ротор из алюминия, 2 — статор — электромагнит, 3 — подвес из фосфористой бронзы, 4 — крутильная головка; 5 и 6 — внутренний и внешний цилиндры из тефлона; 7 — термостатирующая рубашка, 8 — зеркало.
б: 1 и 2 — ротор и статор, 3 — обмотка электромагнита, 4 — миллиамперметр, 5 — вольтметр, 6 — ключ.
в: 1 и 5 — зубчатый диск из тефлона, 2 — чашка из тефлона, 3 — чапка из красной меди, 4 — термостатирующая рубашка

При исследовании двухмерных суспензий тефлона вместо цилиндра 5 (рис. 1а) применялся зубчатый диск — 1, 5 (рис. 1в), сделанный также из тефлона.

На рис. 2 показано, что объем осадка (суспензии) увеличивается с повышением температуры; при этом после 40° наблюдается более быстрый рост, имеющий линейный характер. Визуальное наблюдение показывает, что с повышением температуры первоначально плотный компактный осадок превращается в хлопьевидный. Это особенно заметно при 70 и 80°.

С точки зрения теории гидрофобных взаимодействий увеличение объема осадка при повышении температуры можно объяснить усилением адгезии и увеличением скорости образования контактов между частицами суспензии тефлона. Это усиление контактов непосредственно связано с изменением структуры воды, а именно — с разрушением структурок (clusters). Нужно иметь в виду также, что с повышением температуры падает значение диэлектрической проницаемости воды. Согласно закономерностям, установленным Ребиндлером (*), понижение диэлектрической проницаемости среды способствует стабилизации суспензий гидрофобных порошков; гидрофильные же порошки лучше стабилизируются при повышении диэлектрической проницаемости.

* $1/\tau$ — скорость деформации (сек⁻¹); P — напряжение сдвига (дин·см⁻¹).

Необходимо отметить, что в наших опытах объем осадка измерялся после оседания порошка при заданной температуре. Если же просто нагревать уже осевший при 20° порошок, то увеличения его объема практически не наблюдается. Однако при этом, мы вправе ожидать, что повышение температуры приведет к усилению контактов между частицами

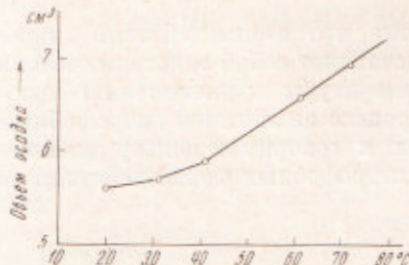


Рис. 2

Рис. 2. Зависимость объема осадка от температуры

Рис. 3. Зависимость скорости деформации от напряжения сдвига для осадка:
1 — 20° , 2 — 30° , 3 — 40° , 4 — 50° С

тефлона. Это легко проверить, изучив реологические свойства супензии (осадка) при различной температуре, что и было сделано в следующих опытах. На рис. 3 и 4 приведены результаты реологических измерений для объемной и двухмерной супензии тefлона соответственно.

Кривые рис. 3, изображенные в координатах скорость деформации — напряжение сдвига, четко показывают, как с повышением температуры увеличивается предельное напряжение сдвига в супензии. Его значения P_m соответствуют отрезкам на абсциссе, отсекаемыми пунктирными линиями, и равны:

T-ра, °C	20	30	40	50
P_m , дин·см ⁻¹ ·10 ³	22	68	97	127

Таким образом, не вызывает сомнения, что повышение температуры приводит к увеличению прочности между частицами тefлона. Наряду с этим наблюдается расширение области, соответствующей течению неразрушенной структуры, что, возможно, объясняется увеличением количества контактов под влиянием повышения температуры.

Определение предельного напряжения сдвига в двухмерной супензии тefлона показало ту же зависимость от температуры, что и в случае объемной супензии в предыдущем опыте (см. рис. 4). Значения предельного напряжения сдвига P_m были следующие:

T-ра, °C	17	30	40
P_m , дин·см ⁻¹ ·10 ³	15	41	51

Однако реологические свойства двухмерной супензии существенно отличались от свойств объемной супензии. Во-первых, зна-

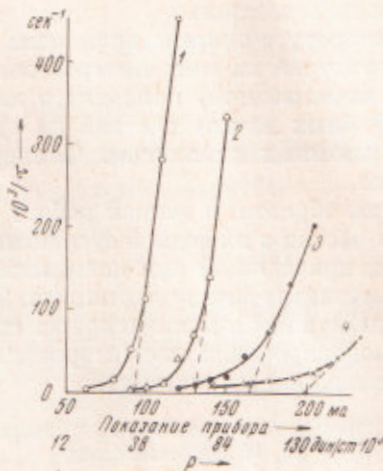


Рис. 3

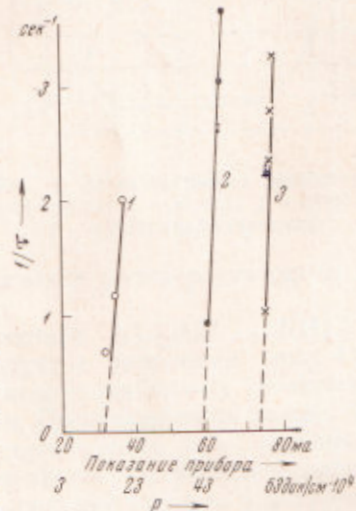


Рис. 4. Зависимость скорости деформации от напряжения сдвига, для двухмерной супензии: 1 — 17° , 2 — 30° , 3 — 40° С

чения P_m приблизительно на порядок ниже, чем у объемной суспензии. Это понятно, а во-вторых, как это видно из рис. 4, двухмерная суспензия обладает почти идеальной хрупкостью. Этот факт нуждается в дополнительном исследовании.

В литературе описана лишь одна попытка моделирования гидрофобных взаимодействий на микрогетерогенных системах⁽⁶⁾. Автор этой работы (чисто качественной) приходит к выводу о возможности моделирования гидрофобных взаимодействий на суспензии стеклянных шариков гидрофобизированных силиконом. Температурный фактор в этой работе не изучался.

Таким образом, в данной работе показано, что взаимодействие гидрофобных частиц в их водной суспензии представляет собой эндотермический процесс, приводящий при повышении температуры к увеличению прочности контактов между частицами. Этот процесс аналогичен гидрофобным взаимодействиям в молекулярных системах и говорит в пользу возможности моделирования элементарных актов гидрофобных взаимодействий на микрогетерогенных системах.

Московский государственный университет
им. М. В. Ломоносова

Поступило
5 III 1970

ЦИТИРОВАННАЯ ЛИТЕРАТУРА

- ¹ H. S. Frank, M. K. Evans, J. Chem. Phys., **13**, 507 (1945). ² W. Kauzmann, Adv. Protein Chem., **14**, 1 (1959). ³ G. Nemethy, H. A. Scheraga, J. Chem. Phys., **36**, 3401 (1962). ⁴ П. А. Ребиндер, Е. К. Венстрем, ЖФХ, **1**, 163 (1930).
⁵ П. А. Ребиндер, К. П. Ребиндер, **1**, 175 (1930). ⁶ R. Cecil, Nature, **214**, № 5086, 369 (1967).